

## 電力系統의 中間調相設備로서의 靜止形 無効電力 補償 裝置

郭熙魯 \* 鄭泰豪 \*\*

### ■ 차 레 ■

1. 序 言
2. Thyristor 的 基本原理
3. SVC 的 特性
4. Thyristor 依한 無効電力制御方法
5. SVC 的 制御方式과 靜特性

6. SVC의 動作特性
  7. SVC에 依한 系統 安定度向上 効果
  8. SVC에 依한 高調波 發生 및 對策
  9. SVC의 損失 特性
  10. 結 論
- 参考文獻

### 1. 序 言

靜止形 無効電力 補償 裝置(Static Var Compensator : 이하 SVC 라 함)은 同期 調相設備와 유사한 機能을 가지는 것으로서 디아리스터에 의해 規定된 리액터와 커페시터 뱅크로부터 연속적으로 可變의 進相이나 通相 無効電力を 供給함으로써 주어진母線에서 電壓을 許用된 범위내에維持시켜 주는 裝置를 말한다. SVC는 比較的 最近에 開發된 品目으로서 이의 出現으로 高電壓 大電力 系統에서 진보된 디아리스터 技術의 適用을 可能하게 하였는데 初期에는 主로 Arc 爐등의 프리카 補償을 위한 裝置로活用되어 왔으나 最近에는 電力系統의 電壓을 制御하는手段으로 점차 脚光을 받아가는 趨勢이다.前述한 2種類의 無効電力 補償問題를 좀 더 具體的으로 分析하면 다음과 같다.

#### 1) 負荷電力의 補償

Arc 爐나 圧延機를 使用하는 工場에서 이러한 器機 連轉時 無効電力의 變化로 심한 電壓 變動을 若起

\* 正會員: 崇田大 工大 電氣工學科 助教授

\*\* 正會員: 韓國電力公社 送變電部 技術課 勤務

시키는 데 從來에는 主로 負荷가 放射狀으로 連結된 점을 감안 아래의 方法으로 電壓 變動問題를 解決하여 왔다.

- 同期 調相機의 設置
  - 系統의 短絡容量 増大
  - 機械的으로 開閉되는 靜電蓄電器의 設置
  - 固定蓄電器의 設置
  - 負荷와 母線사이에 버퍼 리액터 設置
- 그러나 SVC는 應答時間이 0.5 싸이를 정도로 매우 빠르며 각 相別로 無効電力を 獨立的으로 補償할 수 있기 때문에 특히 有效한 바 SVC의 適用上 長點을 열거하면 다음과 같다.
- Arc 爐나 圧延機等의 使用 時 發生되는 電壓 프리카의 高速度 減殺
  - 電壓 및 電流의 不平衡 解消
  - 여하한 無効電力 負荷에 대하여도 力率 改善이 可能

#### 2) 送電 系統의 電壓 制御

電力 系統에서 負荷나 發電力이 갑작스런 變化를 일으키면 어느 特定 母線에서 電壓 變動이 심하여 電壓의 制御가 필요하게 되는데 過去에는 主로 아래의 方法에 의해 電壓 變動을 制御하여 왔다.

- 同期 調相機의 設置
  - 機械的으로 開閉되는 分路 리액터나 커��시터  
    별크 設置
  - 直列 커��시터의 設置
  - 主 變壓器 亂 變更
  - 發電機 電压 變動 범위 調整 및 Stabilizer 整定值 調整
- 그러나 最近에는 適正하게 設計된 SVC를 使用함으로써 아래와 같은 效果를 얻을 수 있게 되었다.
- 送電線의 定相安定 極限電力의 增大
  - 系統 事故, 發電力이나 負荷의 増失, 送電線 開閉等의 撓亂時 過渡安定度의 向上
  - 負荷 變動이나 線路 開閉等으로 若起되는 電压 變動率의 改善

이상으로 SVC의 活用 分野를 간단히 살펴보았다. 앞으로 本 技術 解說을 통하여 言及하고자 하는 것은 SVC를 送電 系統의 電压 制御用으로 使用하는 問題에 관한 사항이다.

## 2. Thyristor 的 基本 原理

Thyristor은 그림 1과 같이 P-N-P-N 接合을 시킨 Silicon으로서 위의 P 층을 Anode, 밑층의 N을 Cathode, 이 Cathode에 인접한 P 층을 Gate라 한다. Anode와 Cathode 사이에 順方向의 電压이 加해지면 順方向 破壞電压( $V_{BO}$ ) 이하에서는 微少한 漏泄電流만 흐르게 되며  $V_{BO}$  이상의 印加電压에 대하여는 thyristor는 신속히 通電狀態에 到達한다. 만일 Gate에 外部에서 電流를 加해 주면  $V_{BO}$ 가 낮은 값으로 低下되며  $V_{BO}$  값은 Gate에 흘리는 電流에 따라 變化한다. 그러므로 必要한 時點에 Gate에 充分한 電流를 供給하면 願하는 時間에 thyristor를 通電狀態로 만들 수 있다. Gate 電流와  $V_{BO}$ 의 關係

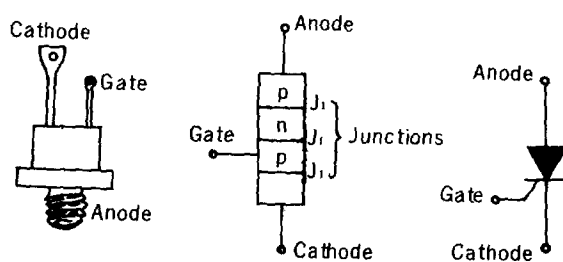


그림 1. 다이리스터의 構造, 外觀 및 심볼

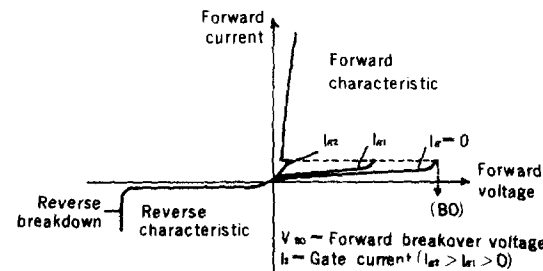


그림 2. 다이리스터의 Anode-Cathode 特性

係를 圖示하면 그림 2와 같다. 일단 thyristor가 通電되면 Gate는 制御機能을喪失하게 되어 電流를遮斷시키지 못하며, Gate 電流가 除去되고 順方向 電流가充分히 낮은 水準(수십 mA以下)이 되어야 thyristor 電流가遮斷된다. Gate의 信號 電流는 thyristor의迅速한 應答을 위하여 急峻度의 波頭를 가지는 펄스이어야 하며 信號 持續 時間은 thyristor가 通電하기에充分한 時間이어야 한다.

표 1. SVC와 RC의 特性比較

방식	SVC	동기 조상기
구성		
특성		
손실	0.8 ~ 1.0 % (정격부하시)	1.5 ~ 2.0 % (정격부하시)
상별제어	가능	불가
응답속도	10 ~ 20 ms	100 ~ 200 ms
단락용량 변화	불변	증가
부지면적	약 3,500 m² (± 250 MVA)	약 3,000 m² (± 250 MVA)

### 3. SVC의 特性

#### 1) 中間 調相 設備의 役割

中間 調相 設備란 長距離 送電系統의 中間에 電圧 無效電力 特性을 가지는 調相 設備를 設置하여 中間 地點의 電圧을 維持시켜 相差角의 增加에 수반하는 同期化力의 減少를 防止하여 定態 및 過渡 安定度를 增加시키거나 送電線路의 無效電力を 補償하여 送電 損失減少를 目的으로 使用되는 設備를 말한다.

#### 2) 中間 調相 設備의 種類

中間 調相 設備로서는 (i) Thyristor 制御 無效電力 補償裝置(SVC), (ii) 同期 調相機(R.C), (iii) 饋和 리액터 等이 있으나 그 중 SVC와 RC의 特性을 比較하면 表1과 같다.

### 4. Thyristor에 의한 無效電力 制御方法

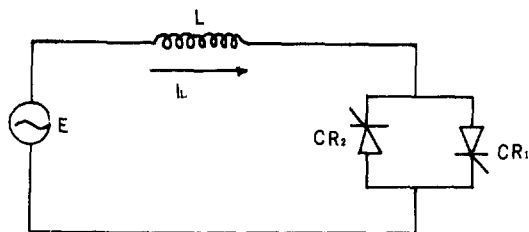
#### 1) 無效電力 制御 方式

Thyristor에 依한 無效電力 制御로서는 커페시

터를 다이리스터로 開閉하여 進相 無效電力を 制御하는 方式(Thyristor Switched Capacitor :TSC)과 리액터를 다이리스터로 位相 제어하여 遅相 無效電力を 제어하는 方式(Thyristor Controlled Reactor :TCR)이 있으며 이들을 組合하여 SVC로서 適用할 수 있는 데 이를 要約하면 表2와 같다.

#### 2) TCR 方式

單相 回路에 있어서 리액터 電流 制御 方法을 그림 3에 表示하였다.



交流 電源에 接續된 리액터 L에 흐르는 電流  $I_L$ 은 다이리스터  $CR_1$  및  $CR_2$ 의 逆並列 回路에 의하여 制御된다. 다이리스터  $CR_1$  및  $CR_2$ 의 Gate에 點號 信號를 주면 通電을 開始하는 데 그 때 흐르는 電

表 2. SVC의 方式比較

	TSC 方식	TCR 方식	TSC, TCR 병용제어 방식
회로 구성	<p>Thyristor의 ON-OFF 제어로 capacitor를 개폐하여 용량을 단계적으로 조정한다.</p>	<p>Capacitor를 고정으로 투입하고 reactor 전류를 Thyristor 위상제어를 통하여 무효전력을 연속적으로 조정한다.</p>	<p>Capacitor는 Thyristor로 개폐하여 단계적 조정하고 Reactor는 위상 제어로 미세한 조정을 하여 전체는 연속제어 가능하다</p>
특징	(1) 손실이 적다 (2) 고조파가 발생한다.	(1) 연속제어 가능 (2) 응답속도가 빠르다.	(1) 연속제어 가능 (2) 손실이 적다.

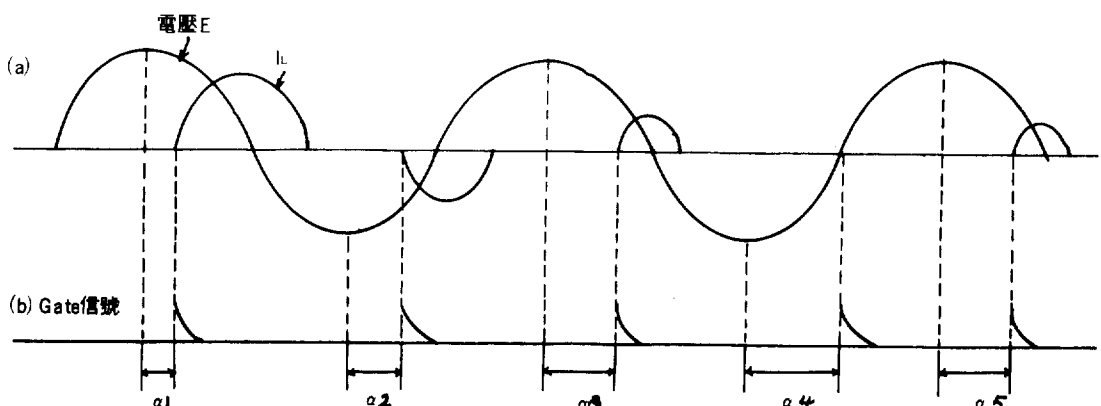
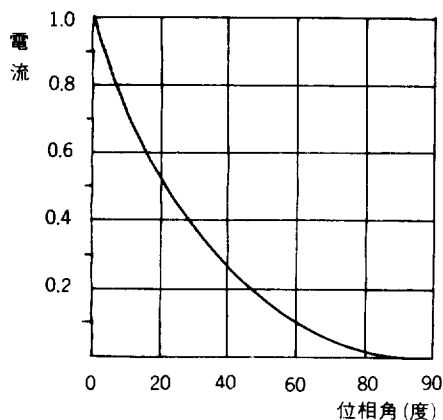


그림 4. 리액터 電流 波形

그림 5.  $\alpha$  와 基本波 電流의 關係

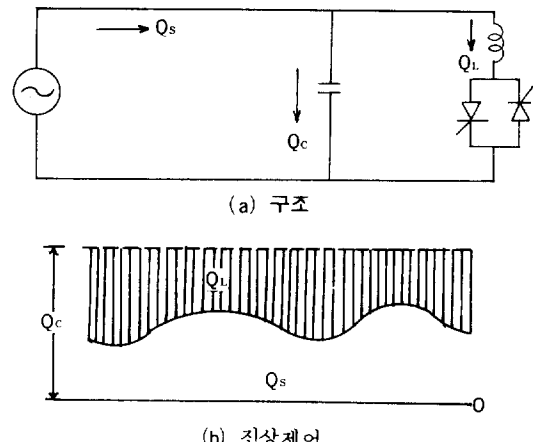
流의 크기와 모양은 그림 4와 같이 점호 信號를 주는 位相角  $\alpha$ 에 의하여決定된다.

리액터 電流를 다이리스터로 制御時 點孤角  $\alpha$  와 제어된 基本波 成分의 크기와의 關係를 圖示하면 그림 5와 같다.

이와 같이 點孤角  $\alpha$ 에 依하여 리액터 電流를 制御 할 수 있는 데 遲相 電力만을 變化시킬 수 있는 것이 아니라 그림 6과 같이 L과 C를 組合시키면 進相一遲相 電力を 連續的으로 制御시킬 수 있다.

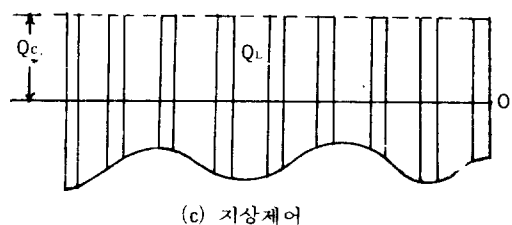
### 3 ) 다이리스터에 依한 커패시터 開閉 方法

그림 7에 있어서와 같이 다이리스터가 off 되어 있 는 동안의 커패시터 端子電壓은 電源電壓의 피크值



진상제어의 경우

Capacitor에 의한 고정 진상분  $Q_C$ 보다 작은 지상전력  $Q_L$ 을 발생시키고 합성 무효전력이 진상이 되도록 제어한다.



지상제어의 경우

Capacitor에 의한 고정 진상분  $Q_C$ 보다 큰 진상전력이 발생하여 합성 무효전력이 지상이 되도록 제어한다.

그림 6. SVC의 動作

가印加된 狀態로維持된다(電圧과 電流는  $90^\circ$ 의 位相差를 가지며回路電流가 0에서 다이리스터는 off 됨).

이 狀態에서의 다이리스터 電壓을 圖示하면 그림 7-2의 (b)와 같다. 커페시터가 on 狀態로 될 境遇突入電流를 防止하기 위하여 다이리스터 電壓이 0이 되는  $T_2$ 에서 커페시터가 on 되어야 한다. 이를 위하여  $T_1$ 의 位相에서 投入指命을 주어  $T_2$ 의 位相에서 Gate信號가 發生되도록 하면 突入電流가 흐르지 않고 커페시터에 正常電流가 흐르기 시작한다. 또한 커페시터를 off 시킬 境遇에는 다이리스터의 Gate信

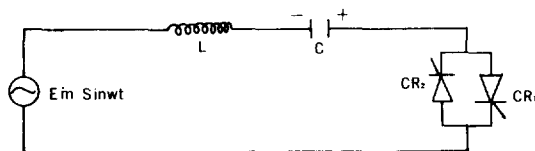


그림 7-1. 單相等價回路

號를 0으로 한 後 다이오드의 電流가 0으로 되는 時點  $T_4$ 에서 커페시터 電流는 遞斷된다.

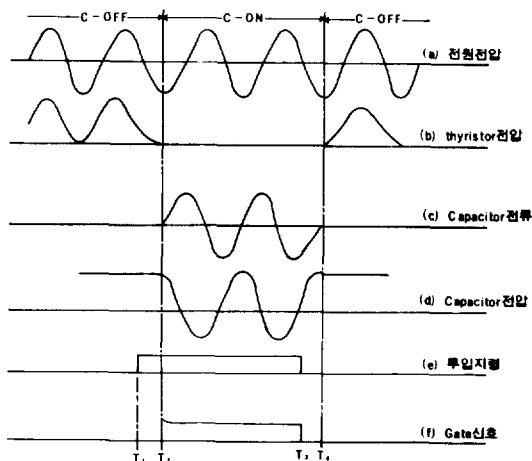


그림 7-2. 動作 設明圖

表3. 各方式의 無効電力 制御 方法

방식	TSC 방식	TCR 방식	TSC - TCR 병용 방식
제어 범위	0 ~ + 200 MVAR	- 200 ~ + 200 MVAR	- 200 ~ + 200 MVAR
구성	모선 C1, C2, C3, C4 50MVA 50'' 50'' 50''	모선 400MVA 200MVA	모선 200MVA 100MVA 100MVA
제어 방법	MVAR 요구량 Capacitor 투입용량 시간	MVAR 고정 Capacitor 요구량 Reactor 제어량 시간	MVAR Capacitor 제어량 요구량 Reactor 제어량 시간

#### 4) 各 方 式에 있어서의 無効電力制御 方法

各 方 式에 있어서의 無効電力 制御方法을 要約하면 表 3과 같은 데 어느 方式에서나 要求되는 無効電力의 制御를 連續的이며 線形으로 행할 수 있다.

#### 5. SVC의 制御 方法과 靜特性

SVC의 制御方式은 同期調相機와 거의 同一한 機能을 가지는 데製作會社에 따라 다소의 差異가 있으며 對象이 電圧이나 無効電力이나에 따라서도 差異가 있다. 여기서는 日本의 Mitsubishi 社의 制御回路를 中心으로 説明하기로 한다. 그림 8에 電圧制御回路의 블럭 圖를 表示하였다. P. T.로 系統 電圧을 測定하여 電圧 檢出回路에 入力하고 電圧 檢出

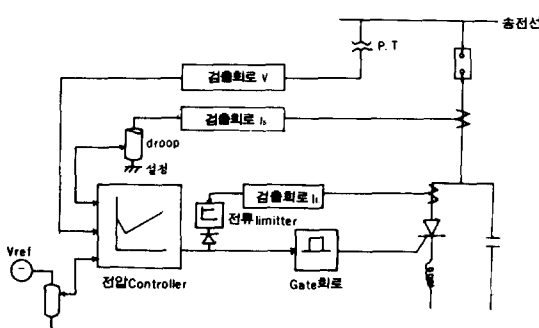


그림 8. 電圧制御回路의 block 圖

回路에서 系統 電圧을 檢出한다. 檢出된 系統 電圧과 基準 信號( $V_{ref}$ )와의 差를 計算한 後 電圧 편차 信號를 ( $\Delta V$ ) 電圧 制御回路에 入力하게 되는데 이 制御回路에서는 制御 Gain의 設定과 制御 特性의 改善을 위하여 位相 補償等을 行한다. 電圧 制御回路의 出力を Gate 回路에 入力시키고 電圧 偏差를 補償하도록 Gate 位相이 選擇된 뒤 그 Gate 位相에서 다이리스터의 Gate에 點弧 信號를 준다. 上記의 電圧 制御回路에 依하여 系統 電圧이 上昇한 境遇에는 SVC 측으로 遅相 無効電力を 흘리고 反對로 電圧이 低下된 境遇에는 SVC에서 電源 측으로 進相 無効電力を 供給하도록 다이리스터가 制御된다. 또한 SVC의 無効電力 信號에 比例한 droop 信號를 制御回路에 追加하는 境遇도 있다. 保護 loop로서 다이리스터의 過負荷를 防止하기 위한 回路가 設置되고 있

다. 다이리스터의 電流를 電流 檢出回路에 依하여 常時 監視하고 만일 다이리스터가 過負荷로 된 境遇에는 電流制限을 設定하여 그 制限值以上으로 電流가增加하지 않도록 한다. 無効電力を 制御하는 境遇에는 中央 變電所로부터 보내온 無効電力 設定 信號에 맞도록 SVC의 無効電力を 制御한다. 또한 電圧制御方式에 系統의 有效電力を 檢出하여 이의 偏差 信號를 電圧 制御回路에 入力시키는 방법도 있는 데 이를 制御回路를 使用할 境遇의 SVC의 應答時間은 約 20 msec. 程度이다. 그림 9에 SVC의 靜特性를 나타내고 있다. 電圧이  $V_1$  以上의 領域에서는 다이

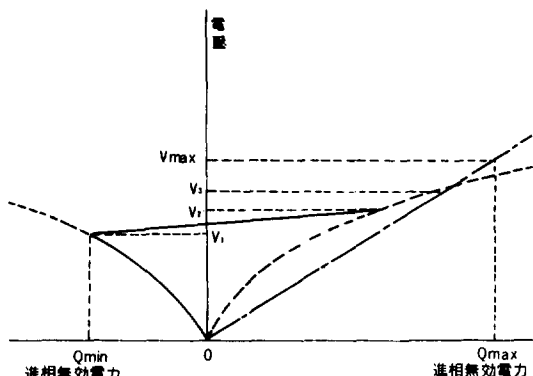


그림 9. SVC의 靜特性

리스터가 Off 되도록 하고  $V_1$ 과  $V_2$  사이에서 無効電力を 制御하도록 한다. 만일 電圧이  $V_2$  以上이 되면 다이리스터는 완전 通電狀態가 되도록 하고  $V_3$  以上的 電圧에서는 電流 上限值를 超過하므로 電流制限回路가 動作하여 다이리스터 電流를 制限한다. 電圧이 繼續 上昇하여  $V_{max}$  以上이 될 때에는 保護를 위하여 SVC를 系統에서 分離시킨다. 이 境遇 電圧 制御回路의 droop은 통상 3 ~ 5 %로 設定한다.

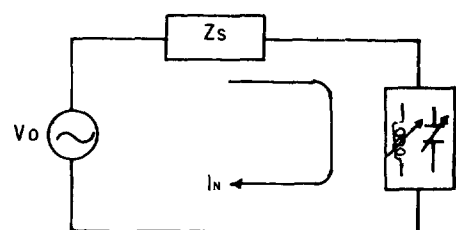
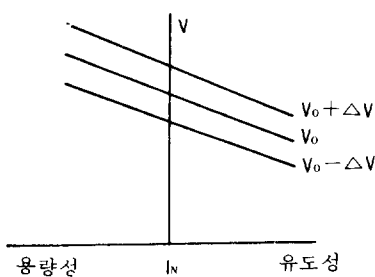


그림 10. 系統 Model

그림 11. 系統의  $V - I$  特性

## 6. SVC의 動作 特性

## 1) 定常動作特性

電力系統을 그림 10과 같은 等價回路로 表示하는 境遇系統 임피던스가 리액턴스 분만으로 構成된 것으로 看做할 수 있으므로 系統의 SVC 無效電流에 대한  $V - I$  特性은 그림 11과 같다. 그림 11에 나타난  $V - I$  特性을 數式化하면 式(1)과 같다.

$$V = V_0 - I_N Z_S \quad (1)$$

또 SVC의 特性은 式(2)로 表示된다.

$$V - V_0 = K \cdot I_N \quad (2)$$

여기서  $K$ 는  $V - I$  特性的 slope다. 電圧이 變化할 때 SVC에 依한 補償後의 電圧 變動은 (1)式과 (2)式을 利用하여 그림 12와 같이 圖解的으로 求할 수 있다. 그림 12에서 系統 電圧이  $V_0$ 에서  $\Delta V_1$ 만큼 低下하여  $V_R$ 로 된 境遇, SVC는 進相 電流를 흘려 系統 特性 ②와 SVC의 特性 ①과의 交點이 세로운 動作點이 되고 그 結果 電圧 變動은  $\Delta V_1$ 에서  $\Delta V_2$ 로 補償된다.

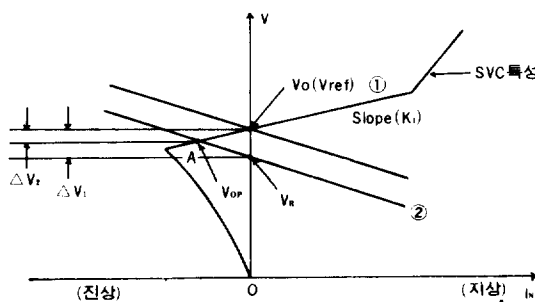


그림 12. SVC에 依한 電圧變動 補償

## 2) SVC의 動特牲

SVC의 step 應答을 檢討하기 위하여 電圧基準을 微小 變化시킬 때의 個別圖를 그림 13에 나타내었다. 이에 依한 SVC의 step 應答은 式(3)과 같다.

$$\begin{aligned} \frac{\Delta V_S}{V_0} &= L^{-1} \left( \frac{K_1 K_2}{1 + K_1 K_2} \cdot \frac{1}{S} \cdot \frac{1}{1 + \frac{1}{1 + K_1 K_2} S} \right) \\ &= \frac{K_1 K_2}{1 + K_1 K_2} \left( 1 - e^{-\frac{1 + K_1 K_2}{\tau_1} t} \right) \end{aligned} \quad (3)$$

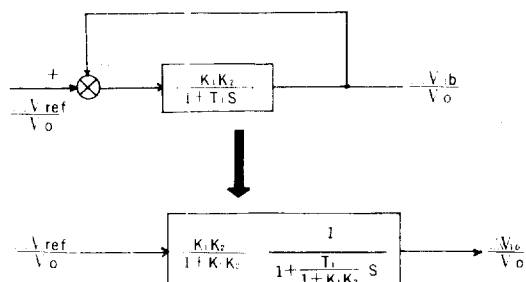


그림 13. SVC 제어 block 圖(微少變化時)

## 3) 各定數의 意味

(a)  $K_1$  (SVC의 Gain)

$K_1$ 은 그림 12의 slope ( $K_1$ )에 해당된다. 예를 들면 電圧偏差  $\frac{\Delta e}{V_0} = 0.02 PU$ 일 때 SVC가  $1.0 PU$ 의 無效電力を 出力하는 境遇 SVC 特性的 slope는 50이 된다.

(b)  $T_1$  (SVC의 時定數)

$T_1$ 은 (3)式에 나타난 것과 같이 SVC制御系의 應答을決定하는 定數로서 系統 條件 및 要求되는 應答性에 依하여決定된다.

(c)  $K_2$  (系統 Gain)

$K_2$ 는 SVC의 出力  $\Delta I_N$ 과 補償電圧  $\Delta V$ 間의 Gain으로서

$$K_2 = \frac{\Delta V}{\Delta I_N} \text{로 表示된다.}$$

(d) off-set  $\left( \frac{1}{1 + K_1 K_2} \right)$ 

系統과 SVC의 特性은 각각 (1)式과 (2)式으로 表示할 수 있음은前述한 바와 같다. 이 式들을 上記의

定數로써 表示하면 (4), (5)式과 같다.

$$V = 1.0 - \frac{I_N}{K_1} \quad (4)$$

$$V = V_R + K_2 I_N \quad (5)$$

(4), (5)式에 依하여 새로운 動作點 電圧  $V_{OP}$  를 구하면 (6)式이 되는데

$$V_{OP} = 1 - \frac{1}{1+K_1 K_2} (1-V_R) \quad (6)$$

(6)式에서  $1-V_R = \Delta V_1$ ,  $1-V_{OP} = \Delta V_2$  라 하면

$$\frac{\Delta V_2}{\Delta V_1} = \frac{1}{1+K_1 K_2} \quad (7)$$

가 된다. 따라서 off-set 是 SVC 가 없을 境遇의 電圧 變動  $\Delta V_1$  과 SVC 動作 後의 電圧 變動  $\Delta V_2$  의 比라 할 수 있다.

## 7. SVC에 依한 系統 安定度 向上 效果

### 1) 定態 安定度의 向上

그림 14에 表示된 電力 系統에 있어서 送電 電力( $P$ )은 (8)式과 같다.

$$P = \frac{E_1 E_2 \sin \delta}{X} \quad (8)$$

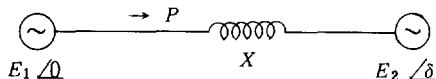


그림 14. 送電 系統圖 (SVC 未設置)

$P$ 는  $\delta = 90^\circ$ 에서 最大가 되며  $P_{max}$ 는

$$P_{max} = \frac{E_1 E_2}{X} \quad (9)$$

가 되는 데 이  $P_{max}$ 를 定態 安定 極限電力이라 한다. 그러나 過渡安定度를 考慮하여  $\delta$ 는  $30^\circ \sim 40^\circ$  以內에서 運轉하는 것이 일반적이다. 만일 SVC를 送電線路의 中間點에 設置하고 電圧을 維持시키는 境遇에는 送電 電力이 (10)式과 같이 增加한다.

$$P = \frac{2 E_1 E_2 \sin \left( \frac{\delta}{2} \right)}{X} \quad (10)$$

이 때 SVC에서 供給하여야 할 無効電力  $Q$ 는 (11)式과 같다.

$$Q = \frac{4 V^2 \left( 1 - \cos \frac{\delta}{2} \right)}{X} = \left( 2 \tan \frac{\delta}{4} \right) P \quad (11)$$

式 (10)에서 보는 바와 같이 SVC를 設置한 境遇에는 送受電端의 相差角을  $90^\circ$  以上으로 할 수 있고 送電可能한 極限 電力を 2倍로 增加시킬 수 있음을 알 수 있다.

### 2) 過渡 安定度의 向上

電力 系統의 送電線 中間에 SVC를 接續하고 電圧을 維持시켜 줌으로써 系統의 過渡 安定度를 向上 시킬 수 있다. 그림 15와 같이 순수한 리액터스만으로 이루어진 二回線 系統에 있어서 A點에서 事故가 발생하여 事故回線의 開放이 된 境遇를 가정하자

#### (a) SVC가 없는 境遇

事故前, 發電機 G에서 無限母線 側에 電力  $P_o$  를 送電할 때의 電力-相差角 特性은 그림 16의 曲線

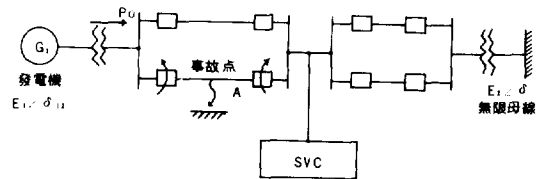


그림 15. 系統 모형

①과 같다. 事故前의 發電機 人力  $P_i$ 는  $P_o$ 와 같은 點(A點)에서 運轉되고 있지만 일단 事故가 發生하면 發電機 出力은 急激히 低下되어 曲線 ②로 移動한다. 事故 發生 직후에는 回轉子의 貨性 때문에 相差角은 急變하지 않고 B點으로 옮겨진다. 以後 短時間內에는 人力의 調節이 이루어질 수 없으므로  $P_i$ 는 일정하며  $\Delta P = P_i - P_o > 0$  이므로 이  $\Delta P$ 는 回轉子를 加速시켜 相差角을  $\delta_A$ 에서 C點으로 移動시킨다. 事故回線의 開放이  $\delta_C$ 에서 이루어 진다면 開放直後の 動作點은 C에서 E로 옮겨져 1回線 開放時の 特性曲線 ③으로 옮겨진다. 그 以後에는 面積  $A_1 = ABCD$  가 面積  $A_2 = DEFG$  와 같아질 때 까지  $\delta$ 는 增加하고 F點의 相差角  $\delta_m$ 이 最大로 되어  $\delta$ 는  $\delta_A \sim \delta_m$  사이를 振動하게 된다. 만일 面積  $EDH \geq A_1$  이면 系統은 安定을 維持하게 되고 面積  $EDH < A_1$  이면  $\delta$ 는 繼續 增加되어 發電機는 說調된다.

#### (b) SVC 設置時

定態 安定度의 項에서 言及한 바와 같이 SVC에 依해 中間 電圧을 1.0 pu로 維持시킬 境遇의 送電可能 極限電力은 2.0 pu로 增加하지만 SVC가 없는 境遇에는 1.0 pu 밖에 되지 않는다. 그러므로 SVC

가 없을 때 安定度의 極限에 있는 系統에 SVC를 接續하면 그림 17에 보인 바와 같이 安定度의 餘裕度를 가지게 되며 反對로 安定度의 限界 内에서는 送電電力を 增大시킬 수 있게 된다. SVC는 設置點의 電圧을 制御하기 때문에 電力動搖로 因한 電壓變動은 效果的으로 抑制되지만 電力動搖의 減度效果는 그다지 기대할 수 없으므로 系統電力의 偏差를 入力하여 電力系統 安定化 loop를 追加하면 電力動搖를 effect的으로 抑制할 수 있다.

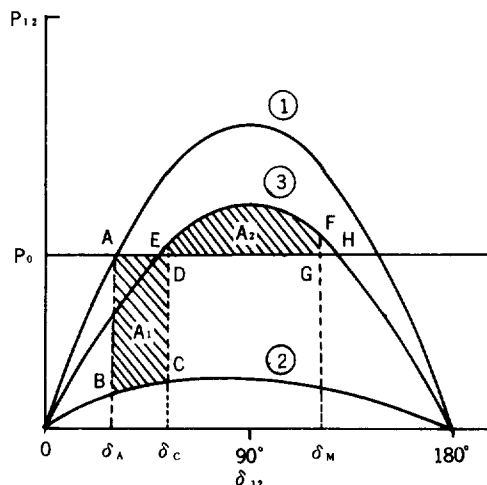


그림 16. SVC 없을 경우 電力-相差角

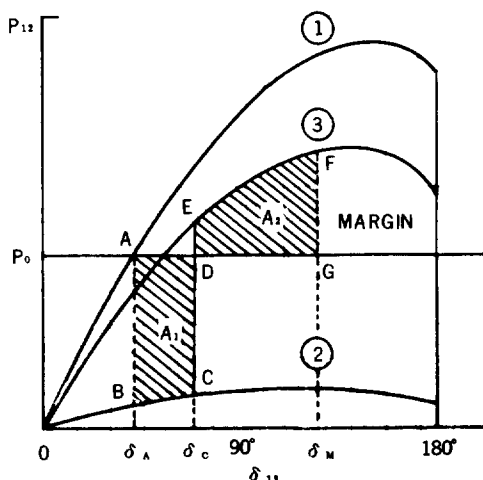


그림 17. SVC 설치시 電力-相差角

### 8. SVC에 依한 高調波 發生 및 對策

SVC가 運轉中에는 TCR에 依해  $h = pq \pm 1$  ( $p$  : 變換裝置의 ペルス数,  $q$  : 임의 정수)로 表示되는 頗하지 않는 特性 高調波가 發生된다. 이 중 특히 關心의 對象이 되는 것은 3차, 5차, 7차, 11차, 13차 高調波로서 이들의 基本波 電流에 대한 比率은 각각 13.8%, 5%, 2.5%, 1.6%, 0.7% 정도이다. 平衡된 3相 系統에서는 3차, 9차, 15차…等의 特性 高調波는  $\Delta$ 結線된 리액터 内部를 循環하므로 系統에는 流入하지 않으나 實際의 系統에서는 약간의 不平衡으로 因하여 この 高調波 電流가 系統에 流入한다. 各 次數의 高調波 電流가 系統에 흘러들어가면 特定한 周波數에서 系統 임피던스에 比例하는 高調波 電圧을 誘起한다. 이들 高調波 電流는 系統에서 共振으로 因하여 원 거리까지 傳播하게 되어 境遇에 따라 發生源보다 원거리에서 悪化된 영향이 나타나게 되는 데 이들의 影響을 살펴보면 다음과 같다.

- 器機나 커패시터의 損失增加 및 壽命短縮
- 共振에 依한 高調波 過電圧誘起
- 리플 制御 系統에 障害誘發
- 電流變換裝置의 定電流 制御回路에 誤差增加 및 不安定招來
- 通信 電話線에 雜音發生

그러므로 系統에 發生되는 高調波를 抑制하여야 할必要性이 있는 데 高調波에 依한 歪曲의 정도는 系統의 構成條件, 電圧레벨, 器機의 種類에 따라 크게 影響을 받기 때문에 制限值를 設定하기가 어려운 實情이다. 一般的으로 配電系統에 있어서는 送電系統보다 制限值를 높게 잡을 수 있는 데 이는 電圧이 높을수록 高調波로 因한 悪影響이 널리 傳播되고 補償하기가 어렵기 때문이다. 美國의 AEP 電力會社에서는 138 KV 系統에 SVC를 設置 運轉時 各 次數別 高調波 制限值를 1% 以内로, 綜合 歪形率을 4% 以内로 規定하고 있다. 高調波 制限值는 系統의 正常運轉時는 물론 事故 狀態에 대하여도 滿足되어야 하며 系統 共振 条件은 最大負荷時와 經負荷時가 다르고 경우에 따라서는 經負荷 狀態에서 最惡의 狀態가 發生될 수 있으므로 여러 保件下에서 精密한 分析을 통하여 高調波가 規定值 以内에서 制限될 수 있도록 해야 할 것이다. 高調波를 制限하는 對策으로는 發生 자체를 抑制하는 것과 發生된 高調波를 發生源에서 흡수하는 것으로 大別할 수 있는 데 電流變換

裝置의 폴스 數를 增加시키는 方法(6 폴스, 12 폴스, 24 폴스 等) 이 前者에 해당하나 폴스의 수를 增加시킬수록 다이리스터의 數가 늘어나므로 價格이 上昇하여 高電壓 大電流 方式에서는 經濟性이 問題가 된다. 後者の 方法은 필터 回路를 利用하는 것이 가장 보편화되고 있으나 最近에는 發生源에서 發生된 高調波와 極性이 反對인 高調波로 相殺시키는 方法이 開發되어 實驗 使用中에 있다.

### 9. SVC 的 損失 特性

SVC 使用時 制御 方式에 따른 損失 特性을 圖示하면 그림 18과 같다. 그림 18에서 曲線 (a)는 固定 커퍼시터에 TCR 챠택시의 損失 曲線으로서 特히 遲相 無効電力を 供給하여야 할 때에 커퍼시터 容量을 补償하고 遲相無効電力を 供給해야 하므로 리액터 容量이 過多하여 損失이 높이 發生함을 알 수 있다. 曲線 (b)는 TSC, TCR 使用時 損失 曲線으로서 特히 進相 無効電力を 供給하는 때에 損失이 크게 발생한다. 이와 같이 SVC를 制御하는 方式에 따

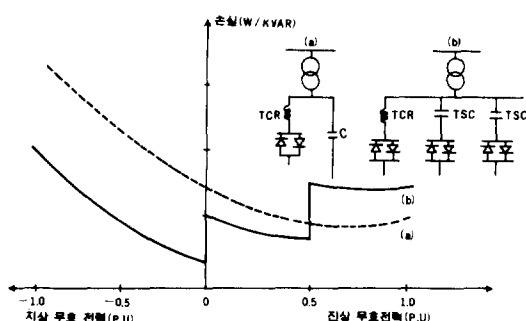


그림 18. SVC의 損失 特性

라 損失 特性이 달라지며 또한 커퍼시터 뱅크를 利用하여 高調波 필터 回路로 活用時에는 TSC의 開放으로 因하여 特定 次數의 高調波가 필터되지 않을 수 도 있으므로 SVC의 制御 方式選定에는 慎重을 기해야 할 것이다.

### 10. 結論

지난 數年間 SVC의 開發 및 摘用에 팔목할 만한 進前이 이루어진 것이 事實이며 無効電力を 制御하기 위하여 다이리스터 스위치를 利用하여 임피던스를 變化시키는 技法이 產業界나 電力會社에서 점차 보편화되고 있는 주제이다. 大電力 系統에 적합한 다이리스터를 使用함으로써 理想的인 同期調相 設備의 出現可能性을 最近의 研究 結果에서 보여 주고 있으며 이들 器機들이 量產段階에 이르면 價格도 저렴한 水準에 이를 것으로 예상되어 電力 系統에 使用이 점차增加될 것으로 展望되므로 우리도 이 分野에 대한 研究와 開發이 활발히 이루어져야 하겠다.

### 參考文獻

- [1] Direct current Transmission Vol. I Chap. 8., Edward Wilson Kimbark, Wiley-Interscience 1971.
- [2] Static Power Frequency Changers Chap. 9, L. Cyugyi and B. R. Pelly, Wiley-Interscience. 1976.
- [3] Static Var Generators, Powertronics Applied Product Division, Westinghouse.
- [4] Reactive Power Generation and Control by Thyristor Circuits L. Cyugyi, IEEE Trans. on Industry Application, Vol. IA-15 No. 5 Sept./Oct. 1979.
- [5] Application of Static VAR Compensators for Steady State & Dynamic Voltage Control. J. J. Keane etc. AEP. 1979.
- [6] Thyristor Control of A. C. Motors, Chap. 2, J. M. D. Murphy, Pergamon Press. 1973.
- [7] Static Var Generators for Transmission Systems, J. H. Cronin etc. Proceedings of the American Power Conference 1977.
- [8] Siemens Power Engineering, Vol. 3 (1981), Special Issue.
- [9] Asea Journal. 1981 Vol. 54, 5-6.
- [10] Static VAR Compensator: SVC, Mitsubishi.
- [11] 明電時報, 1982. 5. 6月 No. 3, 電力變換裝置特集